MEDIDAS DE GANHO EM LASER DE CO<sub>2</sub> CW DE BAIXA PRESSÃO.

N.A.S.Rodrigues, J.B.Chanes Jr e K.Jayaram CTA-IEAv - S.José dos Campos

Neste trabalho é apresentada uma série de medidas de ganho em laser de CO<sub>2</sub> CW de baixa pressão que foram realizadas com o propósito de estudar o comportamento de um amplificador laser de CO<sub>2</sub> com os parâmetros pressão e corrente de descarga. São também apresentados um modelo teórico, baseado em equações de taxa, usado para descrever o comportamento do laser e o procedimento experimental adotado.

Laser de CO2, ganho, física molecular.

### 1. INTRODUÇÃO

No laboratório de Lasers de Alta Potência (LAP) da Divisão de Laser estão sendo desenvolvidos vários tipos de la sers de CO2, entre contínuos e pulsados, e um parâmetro fun damental para a caracterização destes lasers é o ganho. O ganho, neste contexto, é encarado de modo similar ao ganho de circuitos eletrônicos, já que o laser é, a rigor, um amplificador de radiação.

## 2. O LASER DE CO.

O laser de CO<sub>2</sub> emite radiação no infravermelho, com / comprimentos de onda entre 9 e 11 µm, aproximadamente. As transições que caracterizam a emissão laser em CO<sub>2</sub> são vi - bracional-rotacionais entre níveis excitados próximos do estado fundamental.

### 2.1 ESPECTROS VIBRACIONAL E ROTACIONAL.

A molécula de CO<sub>2</sub> é uma molécula simples, linear e simétrica, cujo espectro de absorção, principalmente no infravermelho, é bem conhecido(Courtoy-1957). Possui três modos/ normais de vibração : estiramento simétrico, flexão dupla - mente degenerada e estiramento assimétrico (fig. 1), indica dos pela sequência de números  $n_1 n_2^m n_3$ , onde o índice m indica o momento angular associado ao modo de flexão.

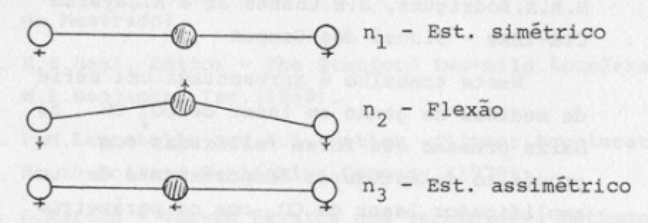


Fig. 1 Modos normais de vibração da molécula de CO2.

As principais transições onde ocorre emissão laser em  $CO_2$  são:  $00^{\circ}1 + 10^{\circ}0$ , com  $\lambda = 10.6 \ \mu m = 00^{\circ}1 + 02^{\circ}0$ , com  $\lambda = 9.6 \ \mu m$ .

Como os níveis de interesse para ação laser em  ${\rm CO_2}$  são níveis vibracionais próximos ao estado fundamental, pode-se descrever os espectros vibracional e rotacional através dos modelos de oscilador harmônico e rotor rígido, com boa precisão (Demaria-1973, Tychinskiy-1967).

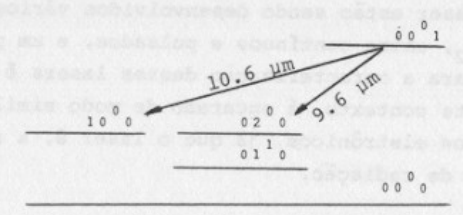


Fig. 2 Níveis vibracionais da molécula de  ${\rm CO}_2$  de interesse na ação laser.

# 2.2 PROCESSOS DE EXCITAÇÃO E RELAXAÇÃO.

Dois processos são importantes na excitação da molécula de  ${\rm CO}_2$ : colisão com elétrons e transferência ressonante/de energia da molécula de  ${\rm N}_2$  excitada em seu primeiro estado vibraconal para a molécula de  ${\rm CO}_2$ .

A adição de  $\rm N_2$  no laser de  $\rm CO_2$  é efetuada com a finalidade de aumentar a taxa de excitação do  $\rm CO_2$  para o nível /  $\rm 00^{\circ}1$ , pois a energia da molécula de  $\rm N_2$  excitada em seu pri-

meiro estado vibracional difere em apenas  $18~\mathrm{cm}^{-1}$ , portanto menos que KT, da energia do nível  $00^{\mathrm{O}}1$  da molécula de  $\mathrm{CO}_2$ , favorecendo a transferência ressonante de energia entre estas moléculas. Além disso, a excitação do  $\mathrm{N}_2$  por colisão / com elétrons é mais eficiente que a excitação do  $\mathrm{CO}_2$  pelo mesmo processo (Nighan-1970, Lowke et al.-1973).

A relaxação dos níveis inferiores de laser ocorre principalmente por processos colisionais. A adição de He é efetuada com a finalidade de favorecer este processo (Taylor / et al.-1969, Levinson et al.-1969).

#### 3. MODELO TEÓRICO.

A hipótese simplificadora para a construção do modelo/ teórico é considerar os estados excitados no modo de estira mento assimétrico  $(00^{\circ}1,\ 00^{\circ}2,\ \text{etc.})$  como um mesmo nível, o nível superior do laser, e considerar os excitados nos modos  $10^{\circ}0,\ 01^{1}0$  e  $02^{\circ}0$  como um outro nível, o nível inferior do laser. A fig. 3 mostra esta hipótese simplificadora.

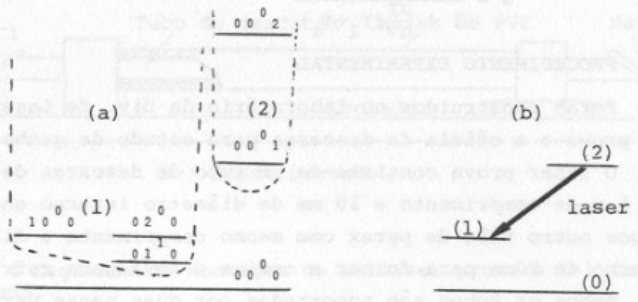


Fig. 3 a.) Hipótese simplificadora; b-) Modelo utilizado.

Esta hipótese é justificada pelo fato de haver um forte acoplamento entre as populações dos níveis indicados por (2) na fig.3, o mesmo ocorrendo entre as populações dos níveis indicados por (1) (Demaria-1973, Tychinskiy-1967, Du - ley-1976, Moore et al.-1967).

Desta maneira podemos escrever as equações de taxa para as populações dos níveis como

$$\dot{N}_2 = W_p N_0 - \frac{\sigma I}{h \nu} (N_2 - N_1) - \frac{N_2}{\tau_2}$$
 (1)

$$\dot{N}_{1} = \frac{\sigma I}{h \nu} (N_{2} - N_{1}) - \frac{N_{1}}{\tau_{1}}$$
 (2)

onde: N<sub>i</sub> = população do i-ésimo nível; W<sub>D</sub> = taxa de bombeamento;

 $\sigma^{r}$  = secção reta de emissão estimulada (ou de absorcão)

hν = energia do fóton emitido ou absorvido;
I = intensidade da radiação no meio ativo;
τ, = tempo de vida do i-ésimo nível.

Chamando  $\Delta N = N_2 - N_1$ , e assumindo regime estacionário / de operação (CW), ou  $N_2 = N_1 = 0$ , obtém-se

$$\Delta N = \frac{W_p N_0 \tau_2}{1 + \frac{\sigma I}{h \nu} (\tau_2 + \tau_1)}$$
(3)

e como o ganho é dado por

$$\alpha = \sigma \Delta N$$
 então (4)

$$\alpha = \frac{\sigma W_p N_0 \tau_2}{1 + \frac{\sigma I}{h \nu} (\tau_2 + \tau_1)}$$
 (5)

#### 4. PROCEDIMENTO EXPERIMENTAL

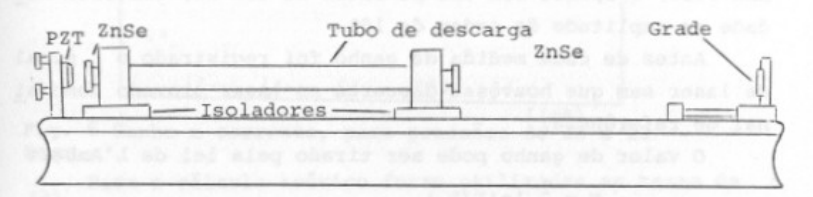
Foram construidos no laboratório da Div. de Laser o la ser prova e a célula de descarga para estudo de ganho.

O laser prova consiste de um tubo de descarga de pyrex com 1 m de comprimento e 10 mm de diâmetro interno encamisa do por outro tubo de pyrex com mesmo comprimento e diâmetro interno de 20mm para formar a camisa d'água para refrigeração. Ambos os tubos são suportados por duas peças usinadas/de alumínio que são também os eletrodos da célula de descar ga. A vedação de vácuo entre os tubos e os eletrodos foi / feita por anéis de borracha. Duas janelas de ZnSe com reves timento antirrefletor são utilizadas para fechar o sistema, suportadas por flanges de nylon sobre anéis de borracha. A cavidade óptica utilizada consiste de uma grade de difração com 80 linhas/mm, quadrada com 15 mm de lado e um espelho / de acoplamento plano de germânio sem revestimento. A cavida de plano-plano não favorece a estabilidade de funcionamento do laser, mas no momento em que foram efetuadas as medidas/

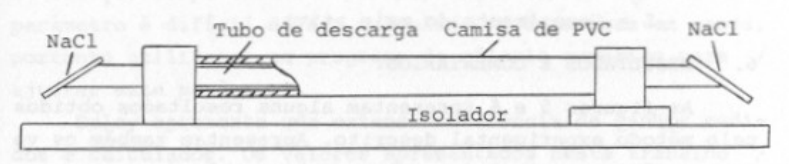
não eram disponíveis espelhos esféricos de acoplamento.

Os eletrodos (devidamente isolados) e os suportes da / óptica de cavidade são fixos em um trilho de trem de 2 m de comprimento para estabilidade mecânica.

No anodo há um acoplamento para ligação com bomba de vácuo "PFEIFFER" modelo UNO-030-A. No catodo há um acopla - mento para entrada de mistura de gases (10% CO<sub>2</sub>, 10% N<sub>2</sub> e / 80% He).



a-) Laser prova.



b-) Laser provado.

Fig. 4 Esquemas de montagem do a-)laser prova e b-) laser provado.

O sinal perdido pela grade de difração no laser prova, é lido por uma termopilha "COHERENT RADIATION" modelo 201 e, após convertido em sinal elétrico, é fornecido a um circuito de estabilização que controla o PZT sobre o qual está fixado o espelho de acoplamento.

A célula de descarga estudada foi construida de maneira bastante similar, com a diferença de que o tubo de descarga tem 1,5 m de comprimento e 15,6 mm de diâmetro interno; a camisa d'água é feita em tubo de PVC de 1 1/4" e o tubo interno é fechado por duas janelas de NaCl em ângulo /

de Brewster.

#### 5. ARRANJO EXPERIMENTAL

Os dois lasers anteriormente descritos foram alinhados de modo que o feixe emergente do laser prova passasse pelo/laser provado e fosse lido por um detetor calorimétrico / "SCIENTECH" mod. 362. O sinal lido, transformado em sinal / elétrico pelo detetor, foi registrado em um registrador gráfico "HP" mod. 7046-A. O laser prova foi sintonizado na linha P(20) e operou com uma potência de 100 mW, com estabilidade em amplitude da ordem de 10%.

Antes de cada medida de ganho foi registrado o sinal de laser sem que houvesse descarga no laser provado como sinal de referência.

O valor de ganho pode ser tirado pela lei de L'Ambert

$$\alpha = \frac{1}{L} \ln(I/I_0) \tag{6}$$

onde:

I = Intensidade do sinal amplificado;

I<sub>0</sub>= Intensidade do sinal de referência;

L = Comprimento do meio ativo.

#### 6. RESULTADOS E COMENTÁRIOS.

As figuras 5 e 6 apresentam alguns resultados obtidos pelo método experimental descrito. Apresentam também os va lores teóricos calculados pelo modelo também descrito, indicados por linhas contínuas.

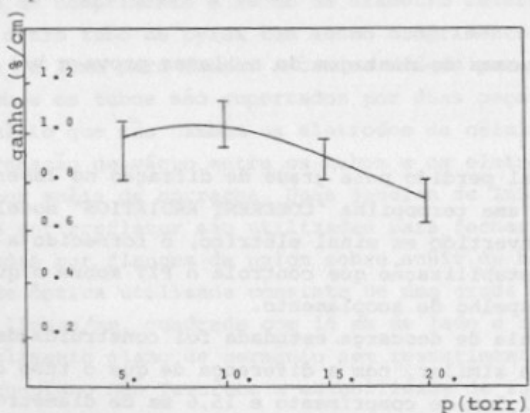


Fig. 5 Ganho x pressão, para uma corrente de 20 mA.

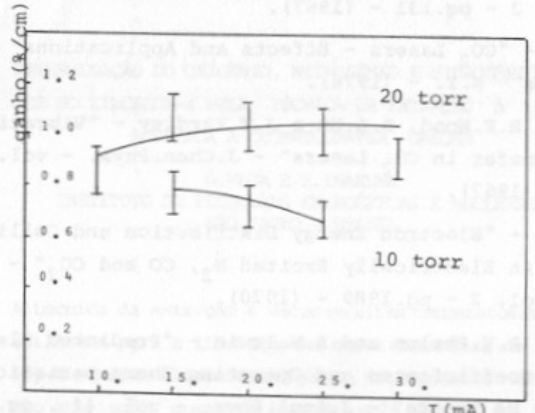


Fig. 6 Ganho x corrente, para pressões de 10 e 20 torr.

Para o cálculo teórico foram utilizadas as taxas de / bombeamento apresentadas por Nighan. As taxas de bombeamento dependem da energia dos elétros, e esta última depende / da relação campo elétrico por população (E/N). Este último/ parâmetro é difícil de ser calculado em descargas em gases, portanto utilizamos um programa de cálculo numérico para / ajustar este parâmetro.

Duley apresenta uma extensa referência de ganhos medidos e calculados. Os valores apresentados neste trabalho / concordam bastante bem com aqueles verificados em sistemas/ semelhantes.

#### AGRADECIMENTOS.

Agradecemos ao Dr. Reginaldo dos Santos, diretor do Instituto de Estudos Avançados, e ao Dr. Cesar C.Ghizoni , chefe da Divisão de Laser, pelo apoio incondicional.

#### 8. REFERÊNCIAS.

- C.P.Courtoy -"Spectres de Vibration-Rotation de Molecules Simples Diatomique ou Polyatomique avec long Parcours / d'Absorption" - Can.J.Phys. - vol.35 - pg 608 - (1957).
- A.J.Demaria "Review of CW High-Power CO<sub>2</sub> Lasers" Proc. IEEE - vol.61 - pg.731 - (1973)-
- V.P. Tychinskiy "Powerful Gas Lasers" Sov. Ph. Usp.

- vol. 10 . no 2 pg.131 (1967).
- W.W.Duley "CO<sub>2</sub> Lasers Effects and Applications" Aca demic Press - N.Y. - (1976).
- C.B.Moore, R.E.Wood, B.L.Hu e J.T.Yardley "Vibrational/ Energy Transfer in CO<sub>2</sub> Lasers" - J.Chem.Phys. - vol.46 pg.4222 - (1967).
- W.L.Nighan "Electron Energy Distribution and Collisio nal Rates in Electrically Excited N<sub>2</sub>, CO and CO<sub>2</sub>" Phys. Rev. A vol. 2 pg.1989 (1970).
- J.J.Lowke, A.V.Phelps and B.W.Irwin "Predicted Electron Transport Coefficientes and Operating Characteristics of CO<sub>2</sub> - N<sub>2</sub> - He Lasers" - J.Appl.Phys. - vol. 44 . pg.4664-(1973).
- R.L.Taylor and S.Bitterman "Survey of Vibrational Relaxation Data for Processes Important in the CO<sub>2</sub> - N<sub>2</sub> Laser Sistem" - Rev.Mod.Phys. - vol. 41 - pg.26 - (1969).
- G.R.Levinson, A.N.Sviridov, V.P.Tychinskiy and V.G.Frolova -"Measurement of the Lifetimes of the 00°V System of Vibrational Levels of CO<sub>2</sub> Molecules" Rad.Eng.Elect.Phys. vol. 14 pg.580 (1969).

A.V. Denaria - Tayley of the Historyee Dis Laguery - Print